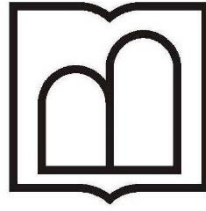


بِسْمِ اللَّهِ الرَّحْمَنِ الرَّحِيمِ



دانشگاه علوم پزشکی اردبیل
دانشکده داروسازی

پایان نامه‌ی دکتری عمومی داروسازی

عنوان

**بررسی اثر حفاظتی فرم فعال ویتامین D در مهار سمیت عصبی ایجادشده
توسط سیتارابین در موش صحرایی نر**

استاد راهنما
دکتر احمد سلیمی

نگارش
محنا بی نیاز

شماره پایان نامه

۱۲۱-۵

اردیبهشت ۱۴۰۱

تقدیم به

پدرم که در طول تحصیل تنها یار و راهنمای من بوده

و

مادرم که همواره با دلسوزی مشوق من بوده است.

پدر و مادر عزیز و مهربانم از اینکه در تمام مراحل زندگی یار و پشتیبانم بوده‌اید بی‌نهایت سپاسگزارم نتیجه یکی از بزرگترین تلاش‌های زندگیم را تقدیم مهربانی‌هایتان می‌کنم.

سپاسگزاری

بدین وسیله از زحمات و همکاری های بی دریغ و بی شائبه استاد ارجمند آقای دکتر احمد سلیمی که در تمام مراحل تنظیم و تدوین این پایانامه، اینجانب را راهنمایی و ارشاد فرمودند صمیمانه سپاسگزاری نموده و توفیق روز افزون ایشان را در راه تعالی و پیشرفت آموزش عالی کشور عزیزمان، از درگاه خداوند متعال خواستارم.

چکیده

مقدمه و هدف: سیتارابین (Ara-C) یک داروی ضد سرطان موثر در درمان بدخیمی های خونی است و یکی از سمیت های رایج آن سمیت عصبی است. بسته به روش تجویز و دوز سیتارابین، سمیت هایی مانند میلوپاتی، لکوآنسفالوپاتی نکروزه، تشنج نوروپاتی محیطی، اختلال عملکرد مغزی و سندرم حاد مخچه در بیماران مواجهه شده گزارش شده است. سیتارابین از طریق مهار سنتز DNA میتوکندریایی، اختلال در فسفریلاسیون اکسیداتیو، کاهش ATP، تشکیل ROS و استرس اکسیداتیو باعث ایجاد سمیت می شود. بنابراین، ما فرض کردیم که عوامل محافظ میتوکندری و آنتی اکسیدان ها می توانند سمیت عصبی ناشی از سیتارابین را کاهش دهند.

مواد و روش ها: بیست و چهار موش صحرایی نر ویستار در چهار گروه مساوی شامل گروه کنترل، Ara-C به اضافه ویتامین D، گروه ویتامین D و گروه سیتارابین قرار گرفتند. ویتامین D (500 U/kg، داخل صفاقی) یک بار در روز به مدت ۱۰ روز متوالی از روز اول تا دهم به حیوان داده شد. Ara-C با دوز روزانه 70 mg/kg از روز یازدهم تا پانزدهم در تمام گروه های دریافت کننده سیتارابین تجویز شد. فعالیت استیل کولین استراز (AChE) و بوتیریل کولین استراز (BChE)، غلظت آنتی اکسیدان ها (گلوتاتیون کاهش یافته و گلوتاتیون اکسیده شده)، نشانگرهای زیستی استرس اکسیداتیو (مالون دی آلدئید)، پارامترهای سمیت میتوکندری (فعالیت سوکسینات دهیدروژناز، تورم میتوکندریایی، پتانسیل غشاء میتوکندری و تولید گونه های فعال اکسیژن) و همچنین تغییرات هیستوپاتولوژیک در بافت های مغز اندازه گیری شد.

یافته ها: نتایج ما نشان داد که قرار گرفتن در معرض Ara-C به طور قابل توجهی پارامترهای هیستوپاتولوژیک، فعالیت آنزیم های مغز (AChE و BChE)، سطوح بیومارکرهای آنتی اکسیدانی (GSH)، عملکردهای میتوکندری را کاهش می دهد، اما به طور قابل توجهی سطوح بیومارکرهای استرس اکسیداتیو (MDA)، گلوتاتیون اکسیده (GSSG) و سمیت میتوکندری را افزایش می دهد. تقریباً تمام پارامترهای ذکر شده قبلی (به ویژه سمیت میتوکندری) توسط ویتامین D در مقایسه با گروه Ara-C اصلاح شدند. این یافته ها به طور قطعی نشان می دهند که تجویز ویتامین D از طریق تعدیل فعالیت های اکسیداتیو، آنتی اکسیدانی و اثرات محافظتی میتوکندریایی (میتو محافظتی) محافظت کافی در برابر سمیت عصبی ناشی از Ara-C ایجاد می کند.

بحث و نتیجه گیری: در مجموع، نتایج مطالعه حاضر نشان داد که Ara-C یک ماده عصبی قوی است و می تواند آسیب های جدی به میتوکندری وارد کند و ویتامین D می تواند با فعالیت آنتی اکسیدانی خود این آسیب ها را بهبود بخشد.

کلمات کلیدی: داروهای ضد نئوپلاستیک، میتوکندری، سمیت عصبی، اثر محافظت کننده عصبی

فهرست مطالب

صفحه	عنوان
	فصل اول: مقدمه
۱-۱-۱	معرفی سیتارابین
۲
۲-۱-۱	مکانیسم اثر سیتارابین
۳
۳-۱-۱	فارماکوکینتیک سیتارابین
۴
۴-۱-۱	مسیر تجویز و دوز موثر سیتارابین
۵
۵-۱-۱	اصلاح دوز
۶
۶-۱-۱	مقاومت نسبت به سیتارابین
۶
۷-۱-۱	عوارض سیتارابین
۷
۸-۱-۱	بیماری های تخریب کننده عصب
۸
۹-۱-۱	سمیت عصبی با داروهای شیمی درمانی
۹
۱۰-۱-۱	سمیت عصبی با سیتارابین
۱۰
۱۱-۱-۱	مکانیسم سمیت عصبی با سیتارابین
۱۲
۱-۱۱-۱	میتوکندری
۱۲
۲-۱۱-۱	لیزوزوم
۱۴
۳-۱۱-۱	نارسایی کلیوی
۱۵
۱۲-۱-۱	ویتامین D
۱۶
۱-۱۲-۱	اپیدمیولوژی فقر ویتامین D در جوامع، از گذشته تا به امروز
۱۸
۲-۱۲-۱	اشکال ویتامین D
۱۹
۳-۱۲-۱	ذخیره و دفع ویتامین D
۲۲
۴-۱۲-۱	عوامل خطر موثر بر فقر ویتامین D
۲۳
۵-۱۲-۱	گیرنده ویتامین D
۲۳
۶-۱۲-۱	VDR در سیستم عصبی مرکزی (CNS)
۲۴
۷-۱۲-۱	نقش ویتامین D در سیستم عصبی
۲۵
۱۳-۱-۱	بررسی متون
۲۷

۲۸	اهداف ۱۴-۱
۲۸	اهداف کلی ۱-۱۴-۱
۲۸	اهداف اختصاصی ۲-۱۴-۱
۲۹	فرضیات و سوالات تحقیق ۱۵-۱

فصل دوم: مواد و روش ها

۳۲	نوع مطالعه ۱-۲
۳۲	مواد شیمیایی ۲-۲
۳۳	بافر ها و محلول ها ۳-۲
۳۴	بافر ایزولاسیون (جداسازی) میتوکندری ۱-۳-۲
۳۴	بافر تنفس میتوکندری ۲-۳-۲
۳۵	پتانسیل غشای میتوکندری (MMP) ۳-۳-۲
۳۵	بافر سنجش میتوکندری ۴-۳-۲
۳۷	بافر تورم میتوکندری ۵-۳-۲
۳۷	تجهیزات و لوازم موردنیاز ۴-۲
۴۱	حیوانات مورد مطالعه ۵-۲
۴۴	گروه های مورد مطالعه ۷-۲
۴۵	مطالعات هیستوپاتولوژیک ۸-۲
۴۵	جداسازی میتوکندری ۹-۲
۴۶	اندازه گیری فعالیت آنزیم استیل کولین استراز و بوتریل کولین استراز: ۱۰-۲
۴۶	سنجش پراکسیداسیون لیپید ۱۱-۲
۴۷	اندازه گیری گلووتاتیون کاهش یافته (GSH) و دی سولفید اکسید شده (GSSG) ۱۲-۲
۴۹	اندازه گیری تورم میتوکندری ۱۴-۲
۴۹	اندازه گیری تولید ROS در میتوکندری ۱۵-۲
۵۰	اندازه گیری فروپاشی غشای میتوکندری ۱۶-۲
۵۱	داده ها و تجزیه و تحلیل های آماری ۱۷-۲

فصل سوم: نتایج

- ۳-۱- اثر مهاری ویتامین D بر تغییرات بافتی مناطق مغز میانی موش صحرایی ناشی از سیتارابین ۵۳
- ۳-۲- اثر مهاری ویتامین D بر استیل کولین استراز و بوتیریل کولین استراز در سمیت عصبی ناشی از سیتارابین ۵۳
- ۳-۳- اثر مهاری ویتامین D بر روی لیپید پراکسیداسیون ناشی از سیتارابین در بافت مغز ۵۵
- ۳-۴- اثر مهاری ویتامین D بر گلوکاتیون احیاء و اکسیده ۵۶
- ۳-۵- کاهش فعالیت سوکسینات دی هیدروژناز میتوکندریایی توسط سیتارابین و مقابله ویتامین D با آن ۵۷
- ۳-۶- اثر محافظتی ویتامین D در مقابل تورم میتوکندریایی ناشی از سمیت سیتارابین ۵۸
- ۳-۷- تاثیر ویتامین D بر میزان ROS تولید شده در میتوکندری توسط سیتارابین ۵۹
- ۳-۸- اثر محافظتی ویتامین D در جلوگیری از افت پتانسیل غشای میتوکندری ناشی از سیتارابین ۶۰

فصل چهارم: بحث و نتیجه گیری

- ۴-۱- بحث ۶۳
- ۴-۲- نتیجه نهایی ۷۳
- ۴-۳- محدودیت ها ۷۳
- ۴-۴- پیشنهادات ۷۴
- منابع و مآخذ ۷۵
- چکیده انگلیسی ۸۷

فهرست اشکال

عنوان	صفحه
شکل ۱-۱- ساختار شیمیایی سیتارابین	۲
شکل ۲-۱- مکانیسم اثر سیتارابین	۳
شکل ۳-۱- سمیت عصبی ناشی از ara-C در نورون‌های DRG	۱۳
شکل ۴-۱- مکانیسم سمیت عصبی ناشی از سیتارابین در مخچه موش صحرایی	۱۴
شکل ۵-۱- عرض جغرافیایی و تاثیر آن در جذب پوستی ویتامین D	۱۸
شکل ۶-۱- تفاوت ساختاری ویتامین D_2 با ویتامین D_3	۲۰
شکل ۷-۱- کانفورمرهای cZc و tZc ویتامین D	۲۱
شکل ۸-۱- توپوگرافی توزیع VDR در CNS	۲۵
شکل ۱-۲- آنزیم سوکسینات دهیدروژناز	۳۶
شکل ۲-۲- سانتریفیوژ یخچال دار	۳۸
شکل ۳-۲- بن ماری	۳۹
شکل ۴-۲- انکوباتور	۳۹
شکل ۵-۲- یخ ساز	۳۹
شکل ۶-۲- ست سمپلر	۴۰
شکل ۷-۲- هموژنایز شیشه ای	۴۰
شکل ۸-۲- PH سنج	۴۰
شکل ۹-۲- ترازو	۴۱
شکل ۱۰-۲- موش صحرایی	۴۲
شکل ۱۱-۲- جداسازی مغز موش	۴۵
شکل ۱۲-۲- سنجش پراکسیداسیون لیپیدی	۴۷
شکل ۱۳-۲- سنجش گلووتاتیون احیا	۴۸

- شکل ۲-۱۴- تورم میتوکندری ۴۹
- شکل ۲-۱۵- تولید ROS در میتوکندری ۵۰
- شکل ۳-۱- اثر ویتامین D بر تغییرات بافتی مناطق مغز میانی موش صحرایی ناشی از سیتارابین ۵۳
- شکل ۳-۲- آ و ب تاثیر ویتامین D بر میزان فعالیت استیل کولین استراز و بوتیریل کولین استراز در میتوکندری های تیمار شده با سیتارابین ۵۴
- شکل ۳-۳- تاثیر ویتامین D بر میزان پراکسیداسیون لیپیدی میتوکندریایی ناشی از سیتارابین ۵۵
- شکل ۳-۴- آ و ب تاثیر ویتامین D بر میزان احیاء و اکسیداسیون گلووتاتیون در بافت مغز موش های صحرایی که سیتارابین تزریق شده اند ۵۶
- شکل ۳-۵- تاثیر سیتارابین بر روی فعالیت آنزیم سوکسینات دهیدروژناز و اثر محافظتی ویتامین D ۵۷
- شکل ۳-۶- تاثیر ویتامین D بر میزان تورم میتوکندریایی ناشی از سیتارابین ۵۸
- شکل ۳-۷- تاثیر ویتامین D بر میزان ROS - تولید شده در نتیجه تماس با سیتارابین ۵۹
- شکل ۳-۸- تاثیر محافظتی ویتامین D بر روی افت MMP - ناشی از سیتارابین ۶۰

فهرست جداول

صفحه	عنوان
۳۲	جدول ۱-۲- مواد شیمیایی به کار رفته.....
۳۴	جدول ۲-۲- اجزای بافر ایزولاسیون میتوکندری
۳۴	جدول ۳-۲- اجزای بافر تنفسی
۳۵	جدول ۴-۲- اجزای بافر MMP
۳۶	جدول ۵-۲- اجزای بافر سنجش میتوکندری
۳۷	جدول ۶-۲- اجزای بافر تورم میتوکندری
۳۷	جدول ۷-۲- لوازم و تجهیزات
۴۲	جدول ۸-۲- انواع متغیرها
	جدول ۹-۲- محلول مورد استفاده برای اندازه گیری فعالیت آنزیم استیل کولین استراز و بوتریل کولین
۴۶	استراز

Cytarabine: 4-amino-1-β-D-arabinofuranosyl-2-(1H)-pyrimidinone

CML: Chronic myelogenous leukemia

NHL: Non-Hodgkin Lymphoma

MDS: Myelodysplastic Syndromes

DNA: Deoxyribonucleic acid

SC: Subcutaneous injection

IT: Intrathecal injection

IV: Intravenous injection

MS: Multiple Sclerosis

CNS: Central Nervous System

NADH: Nicotinamide adenine dinucleotide (NAD) + hydrogen (H)

NADPH: Nicotinamide Adenine Dinucleotide Phosphate

PNS: Peripheral Nervous System

ROS: Reactive oxygen species

2-AG: 2-Ara-Chidonoalglycerol

AA: Ara-Chidonic Acid

AEA: N-Ara-Chidonoyl-ethanolamine-anandamide

ATP: Adenosine Triphosphate

BSA: Bovine Serum Albumin

CHF: Congestive Heart Failure

CK: Creatine Kinase

VDR: Vitamin D receptor

MMP: Mitochondrial membrane potential

MPT: Mitochondrial Permeability Transition

EDTA: Ethylene diaminetetraacetic acid

EGTA: Ethylene glycol-bis (β-aminoethyl ether)-N, N, N', N'-tetraacetic acid

RH123: Rhodamine 123

HEPES: 4-(2-hydroxyethyl)-1-piperazineethanesulfonic acid

MLH1: MutL homolog 1

MLH2: MutL homolog 2

mPTP: 1-methyl-4-phenyl-1,2,3,6-tetrahydropyridine

TFP: trifluoperazine